

临床论著

3D 打印导板辅助椎动脉高跨患者 C2 椎弓根螺钉置入的临床研究

田 野^{1,2}, 张嘉男², 陈 浩², 丁柯元², 刘团江², 黄大耿², 郝定均²

(1 西安医学院 710068 西安市; 2 西安交通大学附属红会医院脊柱外科 710054 西安市)

【摘要】目的:探讨在椎动脉高跨患者中 3D 打印导板辅助置入 C2 椎弓根螺钉的准确性和安全性。**方法:**回顾性分析 2018 年 1 月~2018 年 12 月在我院行上颈椎后路内固定术的 72 例 C2 椎动脉高跨患者。根据辅助 C2 椎弓根螺钉置入方式的不同分为导板组($n=36$ 例)和徒手组($n=36$ 例)。两组患者年龄、性别、体重指数(BMI)、疾病类型等一般资料比较差异均无统计学意义($P>0.05$)。记录并比较两组患者 C2 椎弓根螺钉置钉时间、手术时间、术中出血量、透视时间、术中出血量、置钉相关并发症、手术技术费用、住院时间以及术前、术后 3d、术后 6 个月 VAS 评分、JOA 评分。根据术后颈椎 CT 并按照 Kawaguchi 等提出的螺钉分级标准评估 C2 椎弓根螺钉置入准确率,并计算术前模拟置钉与术后实际置钉进钉角度在矢状面与横断面上的偏差。**结果:**导板组置钉时间、手术时间、透视时间明显优于徒手组($P<0.05$),手术技术费用徒手组明显低于导板组($P<0.05$)。两组术中出血量、住院时间无明显统计学差异($P>0.05$),两组术后 3d、术后 6 个月的 VAS 评分和 JOA 评分均较术前明显改善($P<0.05$),组间比较无统计学差异($P>0.05$)。导板组和徒手组分别置入 C2 椎弓根螺钉 42 枚、43 枚;置钉准确率(0 级+1 级)分别为 95.2%、72.1%。两组螺钉矢状面偏离角度分别为 $0.52^\circ \pm 0.42^\circ$ 、 $2.21^\circ \pm 0.69^\circ$,横断面偏离角度分别为 $0.51^\circ \pm 0.36^\circ$ 、 $2.16^\circ \pm 0.77^\circ$ 。导板组在置钉准确率、螺钉偏差角度均优于徒手组($P<0.05$)。并发症情况:两组患者中共发生椎动脉损伤 4 例,其中导板组 0 例,徒手组 4 例,差异有统计学意义($P<0.05$),所有患者术后均未发生螺钉松动、断钉断棒。**结论:**在椎动脉高跨患者中,3D 打印导板和徒手技术辅助置钉可达到相似的临床疗效,但在置钉准确性和安全性方面,导板技术更占优势,同时它能显著缩短置钉时间、透视时间,降低手术并发症。

【关键词】椎动脉高跨;3D 打印导板;徒手技术;C2 椎弓根螺钉;准确性

doi: 10.3969/j.issn.1004-406X.2020.04.06

中图分类号:R543.4, R687.3 文献标识码:A 文章编号:1004-406X(2020)-04-0323-08

Clinical study of C2 pedicle screw placement in patients with high-riding vertebral artery assisted by 3D-printed navigation template/TIAN Ye, ZHANG Jia'nan, CHEN Hao, et al//Chinese Journal of Spine and Spinal Cord, 2020, 30(4): 323-330

[Abstract] **Objectives:** To investigate the accuracy and safety of 3D-printed navigation template-assisted C2 pedicle screw(C2PS) placement in patients with high-riding vertebral artery. **Methods:** A retrospective study was performed on 72 patients with high-riding vertebral artery who underwent posterior internal fixation of upper cervical spine in our hospital from January 2018 to December 2018. According to the different placement methods of C2PS, they were divided into two groups: navigation template group($n=36$), and freehand group($n=36$). There were no significant difference in age, gender, body mass index(BMI) and disease type between the two groups ($P>0.05$). The single C2PS placement time, operation time, fluoroscopy time, intraoperative blood loss, operation-related complications, operation cost, hospitalization time, VAS scores and cervical JOA scores preoperatively and at 3 and 6 months postoperatively in the two groups were recorded and compared. The accuracy of C2PS placement was evaluated according to the screw classification standard

基金项目:国家自然科学基金重点项目(编号:81830077,81772357)

第一作者简介:男(1993-),硕士研究生,住院医师,研究方向:脊柱外科

电话:(029)62818370 E-mail:554757886@qq.com

通讯作者:郝定均 E-mail:haodingjun@126.com

表 1 两组患者术前一般资料比较**Table 1** Comparison of general data between the two groups before operation

	导板组(n=36) Navigation template group	徒手组(n=36) Freehand group
年龄(岁) Age	49.6±12.3	50.1±11.5
性别(男/女) Gender	25/11	23/13
体重指数(kg/m ²) BMI	23.98±3.95	24.34±3.52
疾病类型 Diagnosis		
椎体骨折 AF	9	8
椎体齿突骨折 FOA	14	15
寰枢椎脱位 AD	7	8
颅底凹陷症 BI	4	4
脊髓型颈椎病 CSM	2	1

Note: AF, axis fracture; FOA, fracture of the odontoid process of the axis; AD, atlantoaxial dislocation; BI, basilar invagination; CSM, cervical spondylotic myelopathy

成,他们分别根据各自偏好选择手术方式,所有患者术前均签署知情同意书。

1.2 手术方法

1.2.1 3D 打印导板组 导板的制作:所有患者术前行手术节段的颈椎 CT 平扫(层厚 0.5mm),将获取的 CT 图像资料以 DICOM 格式保存后导入三维重建软件 Mimics 17.0 (Materialise company, Belgium) 进行 C2 三维模型重建,将重建的模型以

STL 格式导入 3-Matic 21.0 软件并模拟螺钉的位置、方向、直径,设计出 C2 椎弓根螺钉的最优钉道,提取 C2 棘突、椎板、侧块的形态解剖,在软件中设计与上述解剖形态一致的反向模板并将其与 C2 椎弓根螺钉的最优钉道拟合为一体,最终形成带有 2 个定位导向孔的导板。将 C2 三维模型及导板文件以 STL 文件保存后输入 3DS Project 3600 型光敏树脂打印设备 (3DS company, The United States) 打印出 C2 三维模型及导航模板(图 1)。手术操作:术前将 C2 三维模型、3D 打印导板经等离子体灭菌器灭菌,于 3D 模型上进行模拟预置钉。术中充分显露 C2 棘突、椎板和侧块,将导板紧密贴附于 C2 后表面,助手协助固定(图 1),使用高速钻头沿着导向孔方向钻出螺钉轨迹,探针探查四壁安全后攻丝并置入合适长度 C2 椎弓根螺钉。

1.2.2 徒手组 术前根据 CT 及 CTA 测量 C2 椎弓根的宽度及螺钉置入的角度、方向。全身麻醉后,患者取俯卧位,充分剥离椎旁肌完成骨性显露,根据传统解剖学标志 (C2 下关节突内上 1/4 象限)大致确定 C2 椎弓根螺钉进钉点,结合术前影像学测量数据及术者经验可对进钉点和螺钉方向进行适当调整并选取合适的头倾角和内倾角,使用高速磨钻完成钉道准备,探针探查四壁安全后攻丝并置入合适长度 C2 椎弓根螺钉。

1.3 评估方法

术前根据 CT 重建或 CTA 测量 C2 峡部厚度及峡部内部高度评估椎动脉高跨的严重程度,测

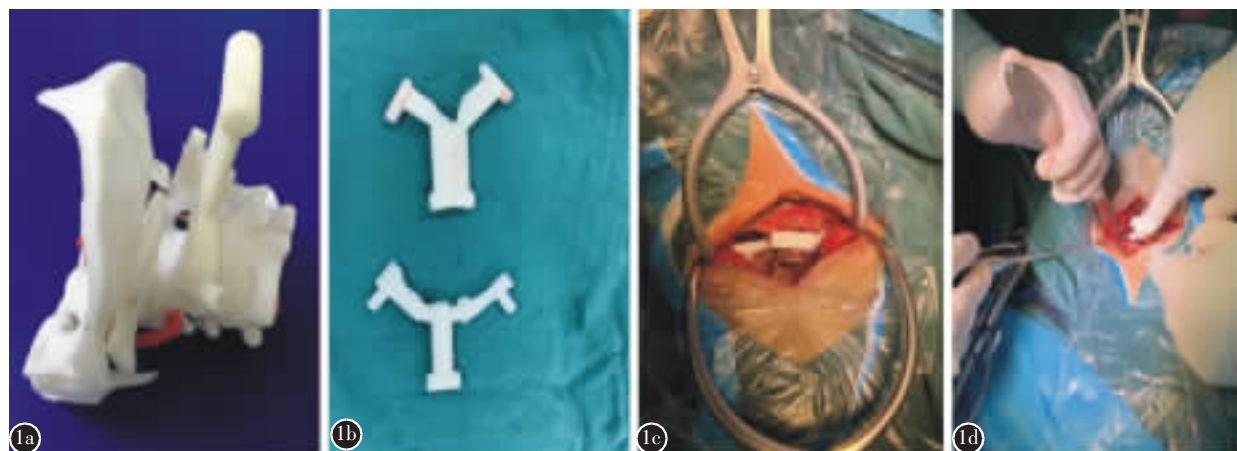


图 1 a,b C2 的 3D 打印模型和 3D 打印导板,用于术前模拟置钉 **c,d** 术中 3D 打印导板辅助置入 C2 椎弓根螺钉

Figure 1 a, b 3D model and 3D-PNT of C2 were used to simulate screw placement before operation **c, d** The 3D-PNT assisted placement of C2PS during the operation

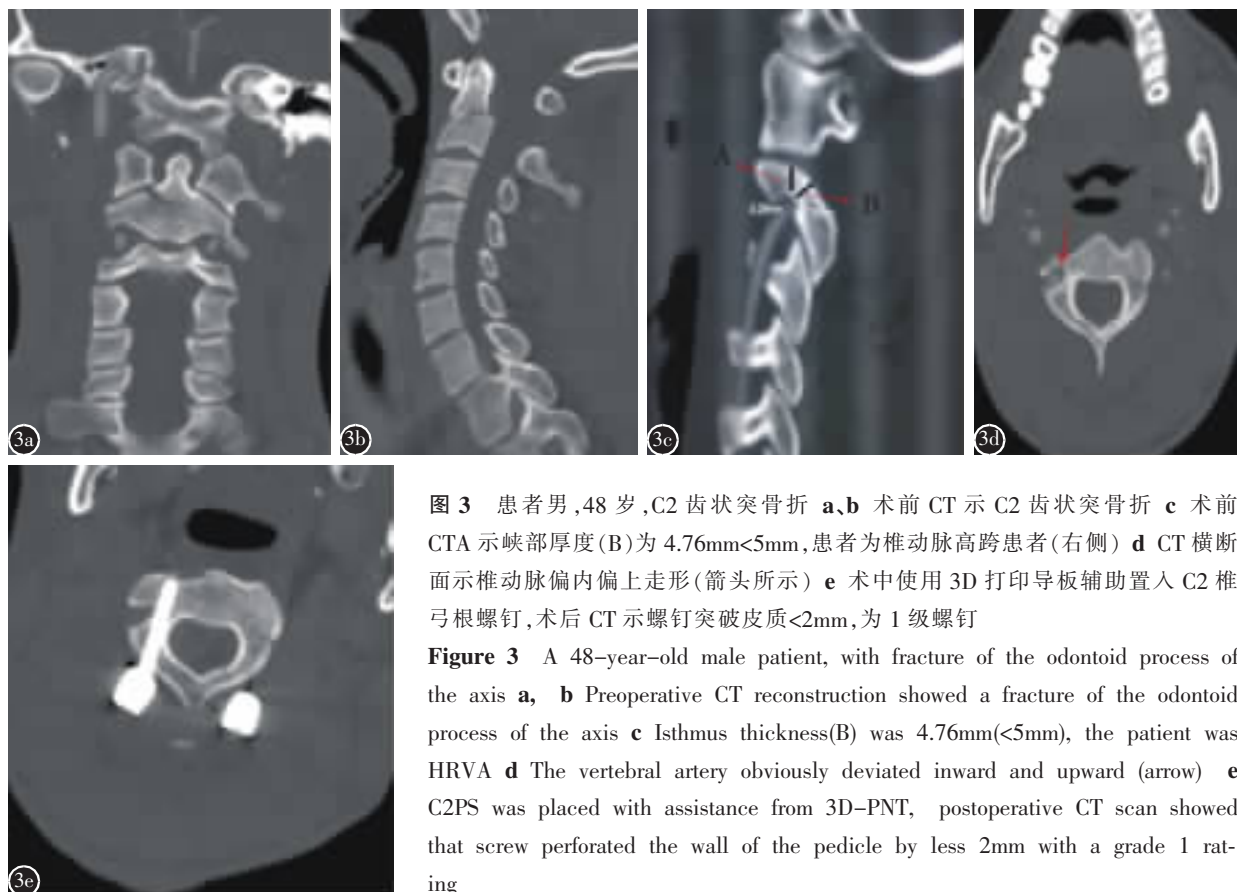


图 3 患者男,48岁,C2 齿状突骨折 **a、b** 术前 CT 示 C2 齿状突骨折 **c** 术前 CTA 示峡部厚度(B)为 4.76mm<5mm,患者为椎动脉高跨患者(右侧) **d** CT 横断面示椎动脉偏内偏上走形(箭头所示) **e** 术中使用 3D 打印导板辅助置入 C2 椎弓根螺钉,术后 CT 示螺钉突破皮质<2mm,为 1 级螺钉

Figure 3 A 48-year-old male patient, with fracture of the odontoid process of the axis **a, b** Preoperative CT reconstruction showed a fracture of the odontoid process of the axis **c** Isthmus thickness(B) was 4.76mm(<5mm), the patient was HRVA **d** The vertebral artery obviously deviated inward and upward (arrow) **e** C2PS was placed with assistance from 3D-PNT, postoperative CT scan showed that screw perforated the wall of the pedicle by less 2mm with a grade 1 rating

颤、面瘫,复查头颅 CT 示小脑梗死,给予对症治疗 1 个月后症状明显缓解;导板组无神经血管损伤。两组患者随访时间均为 12 个月,定期复查颈椎 X 线、CT 均未发现螺钉松动及断钉断棒。两组患者围手术期资料见表 3。两组术后 3d、术后 6 个月的 VAS 评分和 JOA 评分均较术前明显改善 ($P<0.05$),组间比较无统计学差异 ($P>0.05$, 表 4)。

3 讨论

1994 年 Goel 和 Laheri^[16]首次报道了应用 C2 椎弓根螺钉技术治疗寰枢椎脱位。随着脊柱外科的巨大发展,C2 椎弓根螺钉因为其良好的生物力学特性已经广泛应用于上颈椎手术,且临床效果满意。C2 椎弓根螺钉的常规进钉点位于 C2 上下关节突中点,头倾 20°~25°,内倾 15°~30°^[16]。然而在椎动脉高跨患者中,由于椎动脉走行的变异, C2 椎弓根螺钉的进钉点和角度均会发生变化, Lee 等^[17]将轴位椎动脉(IAVA)分为 9 型,椎动脉高跨(HRVA)包括 C-2 型和部分 B-2 型,他们认为 HRVA 患者 C2PS 的入路点应尽量靠近 C2 侧块外侧,且内倾角和头倾角更大。Yeom 等^[4]置入

78 枚椎动脉高跨侧的 C2 椎弓根螺钉,其中 38 枚侵犯椎动脉沟,准确率仅为 51%(40/78)。因此需要一种更为可靠的技术来提高椎动脉高跨患者中螺钉置入的准确性和安全性。近年来随着 3D 打印技术的发展,3D 打印导板技术因其独特的优势已广泛应用于各种复杂的上颈椎手术。

本研究探讨了在椎动脉高跨患者中 3D 打印导板及徒手两种技术辅助置入 C2 椎弓根螺钉的准确性和安全性。我们的研究结果显示徒手组置钉准确率为 72.1%,而既往两项研究^[11,18]显示,在解剖正常患者中徒手置入 C2PS 的准确率分别为 82.7% 和 85%,明显高于我们的研究结果。因此我们认为在椎动脉高跨患者中,由于血管的变异和置钉难度的增加,即便对于有经验的脊柱外科医师,徒手置入 C2PS 的置钉准确率也相对较低。而导板组在置钉准确率、螺钉偏差角度方面明显优于徒手组($P<0.05$)。我们发现导板是基于 C2 后方骨性解剖结构逆向设计的,两个导向孔可提供最佳的进钉点和进钉方向,且使用导板不会受限于血管变异,只要在导向孔的引导下置钉,便可保证螺钉的准确性。Kaneyama 等^[19]研究表明,导板系

- width, pars length, and laminar thickness in concurrent ipsilateral ponticulus posticus and high-riding vertebral artery: a radiological computed tomography scan-based study[J]. Asian Spine J, 2019, 13(2): 290–295.
6. Elgafy H, Pompo F, Vela R, et al. Ipsilateral arcuate foramen and high-riding vertebral artery: implication on C1–C2 instrumentation[J]. Spine J, 2014, 14(7): 1351–1355.
7. 黄学良, 朱双芳, 林雨聪, 等. 三维重建 CT 血管造影在 C1–2 水平椎动脉变异诊断中的价值[J]. 中国脊柱脊髓杂志, 2018, 28(4): 315–319.
8. Bloch O, Holly LT, Park J, et al. Effect of frameless stereotaxy on the accuracy of C1–2 transarticular screw placement [J]. J Neurosurg Spine, 2001, 95(1): 74–79.
9. Punyarat P, Buchowski JM, Klawson BT, et al. Freehand technique for C2 pedicle and pars screw placement: is it safe?[J]. Spine J, 2018, 18(7): 1197–1203.
10. Savastano DM, Tanofskykraff M, Han JC, et al. Radiographic and clinical evaluation of free-hand placement of C-2 pedicle screws[J]. J Neurosurg Spine, 2009, 11(1): 15–22.
11. Bydon M, Mathios D, Macki M, et al. Accuracy of C2 pedicle screw placement using the anatomic freehand technique [J]. Clin Neurol Neurosurg, 2014, 125: 24–27.
12. Lu T, Liu C, Dong J, et al. Cervical screw placement using rapid prototyping drill templates for navigation: a literature review[J]. Int J Comput Assist Radiol Surg, 2016, 11(12): 2231–2240.
13. Yu Z, Zhang G, Chen X, et al. Application of a novel 3D drill template for cervical pedicle screw tunnel design: a cadaveric study[J]. Eur Spine J, 2017, 26(9): 2348–2356.
14. 毛克政, 王庆德, 梅伟, 等. 3D 打印个体化导板辅助颈椎椎弓根螺钉置钉的可行性研究[J]. 中华创伤杂志, 2016, 32(1): 47–50.
15. Kawaguchi Y, Nakano M, Yasuda T, et al. Development of a new technique for pedicle screw and magerl screw insertion using a 3-dimensional image guide[J]. Spine, 2012, 37(23): 1983–1988.
16. Goel A, Laheri V. Plate and screw fixation for atlanto-axial subluxation[J]. Acta Neurochir, 1994, 129(1–2): 47–53.
17. Lee SH, Park DH, Kim SD, et al. Analysis of 3-dimensional course of the intra-axial vertebral artery for C2 pedicle screw trajectory[J]. Spine, 2014, 39(17): E1010–E1014.
18. Sciubba DM, Noggle JC, Vellimana AK, et al. Radiographic and clinical evaluation of free-hand placement of C-2 pedicle screws[J]. J Neurosurg Spine, 2009, 11(1): 15–22.
19. Kaneyama S, Sugawara T, Sumi M, et al. A novel screw guiding method with a screw guide template system for posterior C-2 fixation[J]. J Neurosurg Spine, 2014, 21(2): 231–238.
20. 胡勇, 袁振山, 谢辉, 等. 快速成型导向模板辅助下寰枢椎椎弓根螺钉置钉的偏差因素分析[J]. 中华医学杂志, 2013, 93(33): 2659–2663.
21. Zhang G, Yu Z, Chen X, et al. Accurate placement of cervical pedicle screws using 3D-printed navigational templates: an improved technique with continuous image registration[J]. Orthopade, 2018, 47(5): 428–436.
22. 蒲兴魏, 罗春山, 邱冰, 等. 改良 3D 打印导航模板辅助寰枢椎椎弓根螺钉置钉的准确性分析 [J]. 中国脊柱脊髓杂志, 2017, 27(8): 686–691.
23. 吴超, 邓佳燕, 谭伦, 等. 复合型 3D 打印导航模板辅助枢椎椎弓根或椎板置钉的临床研究[J]. 中国脊柱脊髓杂志, 2018, 28(11): 982–988.
24. Hu Y, Yuan ZS, Spiker WR, et al. Deviation analysis of C2 translaminar screw placement assisted by a novel rapid prototyping drill template: a cadaveric study[J]. Eur Spine J, 2013, 22(12): 2770–2776.
25. Bransford RJ, Russo AJ, Freeborn M, et al. Posterior C2 instrumentation: accuracy and complications associated with four techniques[J]. Spine, 2011, 36(14): 936–943.
26. Shuai G, Teng L, Qiaolong H, et al. Accuracy assessment of using rapid prototyping drill templates for atlantoaxial screw placement: a cadaver study[J]. Biomed Res Int, 2016, 2016: 1–9.
27. 中华医学会医学工程学分会数字骨科学组, 国际矫形与创伤外科学会(SICOT)中国部数字骨科学组. 3D 打印骨科手术导板技术标准专家共识[J]. 中华创伤骨科杂志, 2019, 21(1): 6–9.

(收稿日期:2019-12-30 修回日期:2020-03-19)

(英文编审 谭 喆)

(本文编辑 彭向峰)